

تحلیل استاتیکی پل‌های خاکی فولادی تحت اثر بارهای اجرایی

هرضی اسماعیلی* (استادیار)

جبارعلی ذاکری (دانشیار)

دانشکده‌ی مهندسی راه‌آهن، دانشگاه علم و صنعت ایران

بوبسا حاجی عدالازفاق (دانشجوی دکتری)

دانشکده‌ی فنی، دانشگاه تهران

پل‌های خاکی فولادی با ترکیب صفحات فولادی موج دار و خاک، سیستم جدیدی را برای پل‌سازی ارائه کرده است. در تحلیل این نوع پل‌ها عموماً تنشی‌ها و تغییرشکل‌های ایجادشده در لایه‌های خاک و دیواره‌ی سازه تحت اثر بارهای اجرایی و بهره‌برداری مورد توجه قرار می‌گیرد. در این نوشتار، پس از طراحی یک نمونه پل خاکی فولادی مطابق آئین‌نامه‌ی کانادا با استفاده از نرم‌افزار اجزاء محدود PLAXIS، بارهای اجرایی بر پل موردنظر اعمال شده و نتایج باربری با پروفیل پیشنهادی آئین‌نامه‌ی مقایسه شده است. این مقایسه نشان می‌دهد که کنترل تنش و تغییرشکل مذکور با پروفیل پیشنهادی آئین‌نامه‌ی جوابگوی تمامی ضوابط طراحی است، ولیکن دقت در بارگذاری و تحلیل گام به گام، استفاده از مدل‌های رفتاری غیرخطی، و درنظرگرفتن لغزش بین پوشش خاکی و جداره می‌تواند منجر به اختتام پروفیل اقتصادی تری در مقایسه با آئین‌نامه‌های طراحی مبتنی بر روش‌های کشسان شود.

m-esmaeili@iust.ac.ir
zakeri@iust.ac.ir
p.abdulrazagh@ut.ac.ir

واژگان کلیدی: پل‌های خاکی فولادی، تحلیل استاتیکی، روش اجزاء محدود،
بارگذاری کامیون.

۱. مقدمه

پل‌های درکشورهای مختلفی همچون: کانادا، بربل، انگلیس، آفریقای جنوبی، و کره، جنوبی متداول و براساس استانداردهای آئین‌نامه‌ی ASTM، AASHTO، AISI، CHBDC، AREMA، CALTRANS، ARTC، BD، AREMA، AREMA، CALTRANS، ARTC، CHBDC، [۱] و با توجه در این نوشتار، در ابتدا با روش پیشنهادی آئین‌نامه‌ی CHBDC، [۱] به میران سریار خاکی اعمالی، تحلیل و طراحی اولیه‌ی پروفیل فولادی انجام شده است. از آنجا که در عمل اجرای چنین سازه‌یی به صورت مرحله به مرحله قرار گرفته است، می‌باید و این مسئله به طور مشخص در آئین‌نامه‌ی مذکور مدنظر قرار گرفته است، لذا در ادامه با بهکارگیری ابار عددي اجزاء محدود و نرم‌افزار PLAXIS، مدل‌سازی گام به گام سازه‌ی مذکور منطقی بر شرایط اجرا صورت گرفته است، و تمامی بارهای اجرایی بر آن اعمال شده است. از طرف دیگر با عنایت به توانمندی تحلیل غیرخطی با نرم‌افزار PLAXIS، این مسئله نیز به صورت جنبی مدنظر بوده و نهایتاً نتایج حاصل از تحلیل عددی با روش پیشنهادی آئین‌نامه مقایسه و صحت نتایج ارزیابی شده است.

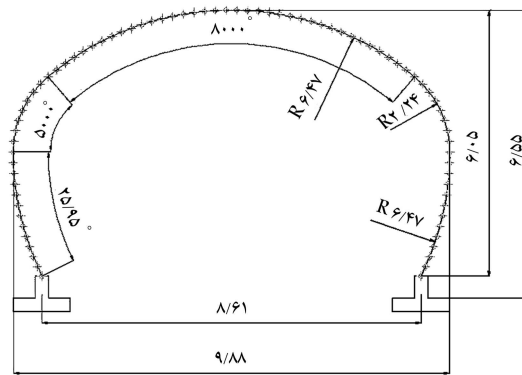
۲. مشخصات هندسی سازه‌ی موردمطالعه

سازه‌ی خاکی فولادی موردنظر مشکل از صفحات فولادی موجدار به شکل نعل اسبي است که بر روی پي نصب شده است و امكان عبور راه‌آهن يك خطه از زير

سازه‌های خاکی فولادی، سازه‌هایی هستند که از دو جزء اصلی صفحات فولادی موجدار و خاک تشکیل شده‌اند. صفحات فولادی موجدار به صورت حلقه به یکدیگر متصل شده‌اند و به منزله‌ی اسکلت سازه عمل می‌کنند. اندرکنش خاک و حلقه‌های فولادی باعث پایداری و توزیع مناسب بارها می‌شود. در سازه‌های خاکی فولادی، جزء خاکی نقش عمده‌ی باربری را دارد و حلقه‌های فولادی باعث توزیع مناسب بارهای وارده به صورت شعاعی می‌شوند. حلقه‌ی فولادی تحت بارگذاری تمايل به تغیيرشکل درجهت عرضی دارد، لذا نیروهای جانبی خاک فعال و باعث جلوگیری از تغیيرشکل حلقه‌ی فولادی می‌شوند. درتیجه، مجموعه در برابر بارهای قائم مقاومت می‌کند. [۲] از آنجا که در يك طول معين صفحات موجدار نسبت به صفحات تخت، سطح مقطع و ممان ايسري بزرگ‌تری دارند؛ لذا تنش فشاری یا كششی کوچک‌تری در آن‌ها ایجاد می‌شود. [۲] پروفیل‌های صفحات فولادی موجدار مطابق آئین‌نامه‌های CHBDC و AASHTO استاندارد شده‌اند و نورده‌کردن و مشخصات مربوط مطابق آئین‌نامه‌های CSA و ASTM و AASHTO می‌گيرد. پل‌های خاکی فولادی، به دليل انعطاف‌پذير بودن صفحات و قابلیت نورده‌کردن آن‌ها به شکل‌های مختلف در انواع شکل‌ها و ابعاد کاربرد دارند. سهولت و سرعت بالاي اجرای پل‌های خاکی فولادی در شکل‌ها و ابعاد مختلف موجود شده است که احداث اين

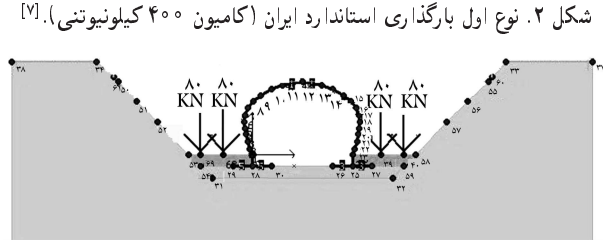
* نویسنده مسئول

تاریخ: دریافت ۳۰/۱/۱۳۹۰، /صلاحیه ۲۵/۸/۱۳۹۰، پذیرش ۲۶/۹/۱۳۹۰.



شکل ۱. جزئیات هندسی بخش فلزی سازه‌ی خاکی فولادی.

شکل ۳. کنترل سازه برای بارهای اجرایی (بار چرخ‌های عقب کامیون استاندارد ایران در دو طرف سازه).



۴. بارگذاری

در مرحله‌ی خاکریزی و تراکم خاک طرفین سازه، سازه‌ی در حال اجرا برای کامیون ۴۰ تنی استاندارد ایران به عنوان سنگین‌ترین بار اجرایی کنترل شده است (شکل ۲). فرض می‌شود پس از اتمام خاکریزی و تراکم آخرین لایه‌ی کامیون ۴۰ تنی ایران به فاصله‌ی ۱/۸ متر از محل بزرگ‌ترین دهانه‌ی سازه و موازی با آن جهت خاکریزی قرار می‌گیرد.^[۵] لذا کنترل برای بار محور عقب که برابر با ۱۶۰ کیلوتون (هر چرخ ۸۰ کیلوتون) است، صورت می‌گیرد (شکل ۳). پس از خاکریزی تاج سازه، ماشین‌آلات اجرایی می‌توانند در جهت عمود بر محور طولی سازه حرکت کنند، اما کمینه‌ی پوشش لازم سازه در زمان اجرا به طوری که عبور و مرور ماشین‌آلات اجرایی به سازه آسیب نرساند، طبق محاسبات و طراحی آینه‌نامه‌ی برابر ۴۰ سانتی‌متر است. بنابراین در این مرحله‌ی اجرایی، سازه تحت بار کامیون ۴۰ تنی قرار گرفته است. اما کامیون در جهت عمود بر محور طولی سازه و به نحوی که بیشترین اثر را ایجاد کند، حرکت می‌کند.

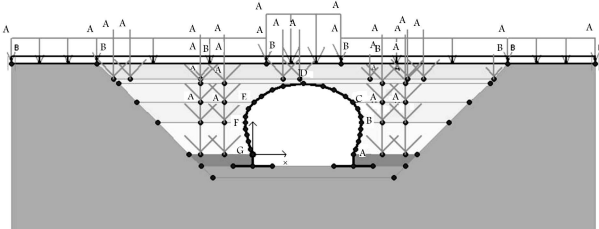
۵. فرضیات تحلیل

تحلیل سازه‌ی خاکی فولادی تحت اثر بارهای اجرایی به روش اجزاء محدود، براساس فرضیات انجام شده توسط استانداردها و آینه‌نامه‌های تحلیل سازه‌های خاکی فولادی صورت گرفته است.^[۶] که به طور عمده عبارت‌اند از:

۱. مدل سازی به صورت دو بعدی در شرایط کرش مسطح صورت گرفته است.

جدول ۱. مشخصات المان‌های معرف صفحات فولادی موجدار، دیواره‌ی پی.

ضریب پواسون	وزن مخصوص (kN/m³)	EI (kN.m²/m)	EA (kN/m)	ضخامت (mm)	نوع پروفیل	مدل رفتاری اجزاء	صفحات فولادی موجدار
۰,۳	-	۴۲۸۹/۱۸۰	۱/۷۴×۱۰⁶	۷/۱۱	۳۸۱ mm×۱۴۰ mm	کشسان	
ضریب پواسون	وزن مخصوص (kN/m³)	EI (kN.m²/m)	EA (kN/m)		f_c (kN/m²)	مدل رفتاری اجزاء	
۰,۲۵	۲۵	۲/۳۲×۱۰⁵	۲/۸۰×۱۰⁶		۳۵۰۰۰	کشسان	دیواره‌ی پی
۰,۲۵	۲۵	۳/۲۸×۱۰⁵	۶/۹۷×۱۰⁶		۳۵۰۰۰	کشسان	پی



شکل ۴. نقاط مورد نظر جهت کنترل نتایج.

سازه (از رابطه $\frac{P_c}{A} \pm \frac{M_c}{I} = \sigma$) نباید در دیوارهای و تاج به ترتیب از ۱۵/۱۶ و ۵۹/۱۷ مگاپاسکال تجاوز کند. مقادیر مجاز تنش فشاری صفحات با توجه مشخصات مقطع صفحات فولادی موحدار استخراج شده است.

نتایج تحلیل برای نقاط مشخص شده در شکل ۴ در هر مرحله از بارگذاری استخراج شده است. مطابق این شکل، نقاط A و G در محل اتصال صفحات به دیوارهای پی‌ها، نقاط B و F در محل بیشینه‌ی دهانه، نقاط C و E در محل اتصال صفحات تاج به صفحات دیواره، و نقطه‌ی D در تاج واقع هستند.

۱.۷ اثر لغزش بین صفحات فولادی موحدار و خاک

در حالتی که هیچ‌گونه لغزش بین صفحات و خاک وجود ندارد، ضریب تماسی برابر ۱ و در صورت وجود لغزش برابر با 80° فرض شده است.^[۱] تغییرشکل نقطه‌ی A تا G پس از خاکریزی لایه‌ی اول (مرحله‌ی ۴) در هر دو حالت محاسبه شده است. از آنجاکه پدیده‌ی لغزش، یک پدیده‌ی غیرخطی است و روند تحلیل حفظ رفتار کشسان را در خاک اطراف سازه نشان می‌دهد؛ لذا در نظر گرفتن این اثر، تأثیری بر نتایج خروجی نشان نداده است.

۲.۷ کنترل صحبت فرض کشسان‌بودن پوشش خاکی

با توجه به نتایج حاصل از تحلیل، نقاط خمیری در پوشش خاکی مشاهده نشد، لذا در هیچ‌یک از مراحل اجرا و بهره‌برداری، پوشش خاکی به حد خمیری نرسیده است.

۳.۷ اثر اختلاف خاکریز در دو طرف سازه

براساس استانداردها و ضوابط اجرای سازه‌های خاکی فولادی، اختلاف خاکریز دو طرف سازه به 40° سانتی‌متر محدود شده است.^[۵] جهت بررسی اثر اختلاف خاکریز در دو طرف سازه، فرض شده است در هر مرحله از خاکریزی، خاکریزی یک طرف سازه 40° سانتی‌متر بیش از طرف مقابل باشد. سپس تغییرشکل افقی و قائم نقاط A تا G در هر مرحله ترسیم و با حدود مجاز مقایسه شده است. همان‌طور که در شکل ۵ مشاهده می‌شود، تغییرشکل‌ها در حد مجازند.

۴.۷ اثر عدم تقارن بار در حین اجرا

براساس ضوابط اجرایی سازه‌های خاکی فولادی، ماشین‌آلات اجرایی در حین اجرا باید به موازیات سازه و به فاصله‌ی $1/8$ متر از محل دهانه بیشینه‌ی سازه حرکت کنند. جهت کنترل اثر بار ماشین‌آلات اجرایی بر سازه که در این تحلیل با عنوان نمونه‌ی کامیون 40° تنش ایان انتخاب شده است، دو متقارن و نامتقارن در نظر گرفته شده است. در حالت متقارن، در همه‌ی مراحل خاکریزی تا قبل از رسیدن به تاج، دو کامیون هم زمان به فاصله‌ی $1/8$ متر از سازه قرار دارند. در حالت نامتقارن در هر مرحله‌ی خاکریزی، بارگذاری دو طرف سازه هم زمان انجام نمی‌شود. به عبارت

۲. از آنجاکه خاک ریخته شده در اطراف سازه دارای تراکم مناسب است؛ رفتار آن کشسان خطی فرض شده است و مدول کشسانی آن با عمق افزایش می‌باید. صحبت فرض کشسان‌بودن خاک در زمان تحلیل تأیید شده است.

۳. شیب ترانشه 45° درجه در نظر گرفته شده است که پایداری آن در زمان اجرای برنامه شناس داده شده است.

۴. با تعریف مقاومت المان تماسی برابر با $8/۰$ ، اثر لغزش بین صفحات فولادی موحدار و خاک در مدل‌سازی در نظر گرفته شده است.

۶. گام‌های تحلیل

با توجه به آنکه در عمل روند اجرای سازه‌ی خاکی فولادی، مرحله به مرحله، با افزایش ضخامت خاکریز تا رسیدن به تراز نهایی صورت می‌گیرد، در ادامه روند تحلیل مرحله به مرحله ارائه شده است:

۱. ترانشه‌ی طبیعی که تغییرمکان‌های آن به هنگام اجرای سازه‌ی خاکی فولادی صورت گرفته است، لذا کل تغییرمکان‌های اولیه برابر صفر هستند (مرحله‌ی ۱).

۲. خاکریزی و تراکم خاک زیر پی (مرحله‌ی ۲).

۳. احداث پی و نصب صفحات (مرحله‌ی ۳).

۴. خاکریزی و تراکم خاک در دو طرف سازه به طور هم‌زمان تا رسیدن به تاج سازه و در نظر گرفتن بار محور عقب کامیون معادل با 160 کیلونیوتون به موازات و به فاصله‌ی $1/8$ متر در دو طرف سازه (مرحله‌ی ۷-۴).

۵. خاکریزی و کوبش پوشش خاکی روی تاج و کنترل ضخامت آن برای بار کامیون (مرحله‌ی ۸-۸).

۶. خاکریزی و کوبش پوشش خاکی سازه جهت تأمین کمینه‌ی پوشش خاکی موردنیاز برای بهره‌برداری (مرحله‌ی ۱۱).

علاوه‌بر کنترل تغییرشکل، نیروی محوری، نیروی برنشی، لنگر خمیشی و تنش‌ها برای هر یک از مراحل فوق، نکات ذیل نیز بررسی شده است:

۱. پایداری ترانشه قبل از اجرای سازه،

۲. تأثیر لغزش بین صفحات فولادی موحدار و خاک در نتایج،

۳. کنترل صحبت فرض کشسان‌بودن پوشش خاکی،

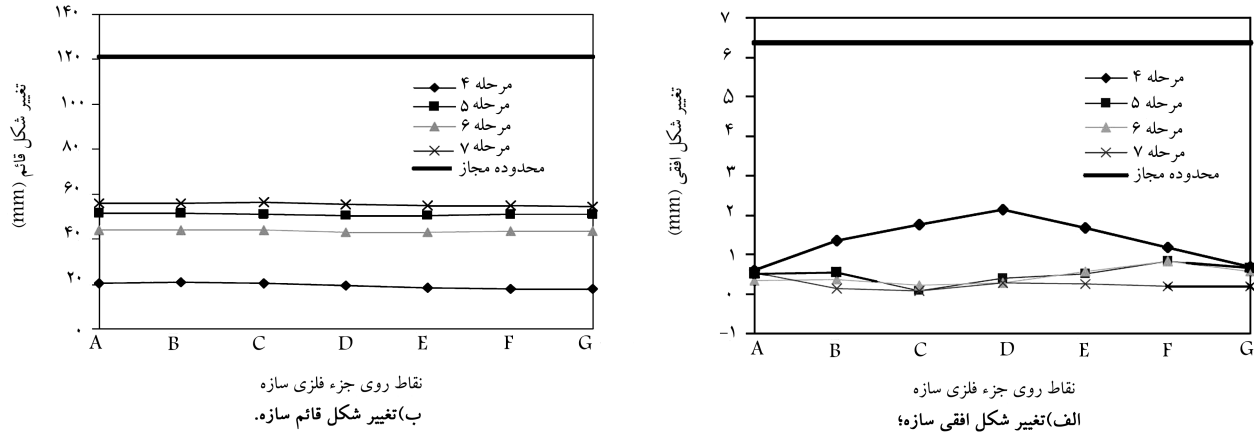
۴. کنترل پایداری سازه در حالتی که اختلاف خاکریزی دو طرف سازه 40° سانتی‌متر باشد،

۵. کنترل اثر عدم تقارن بار حین اجرا.

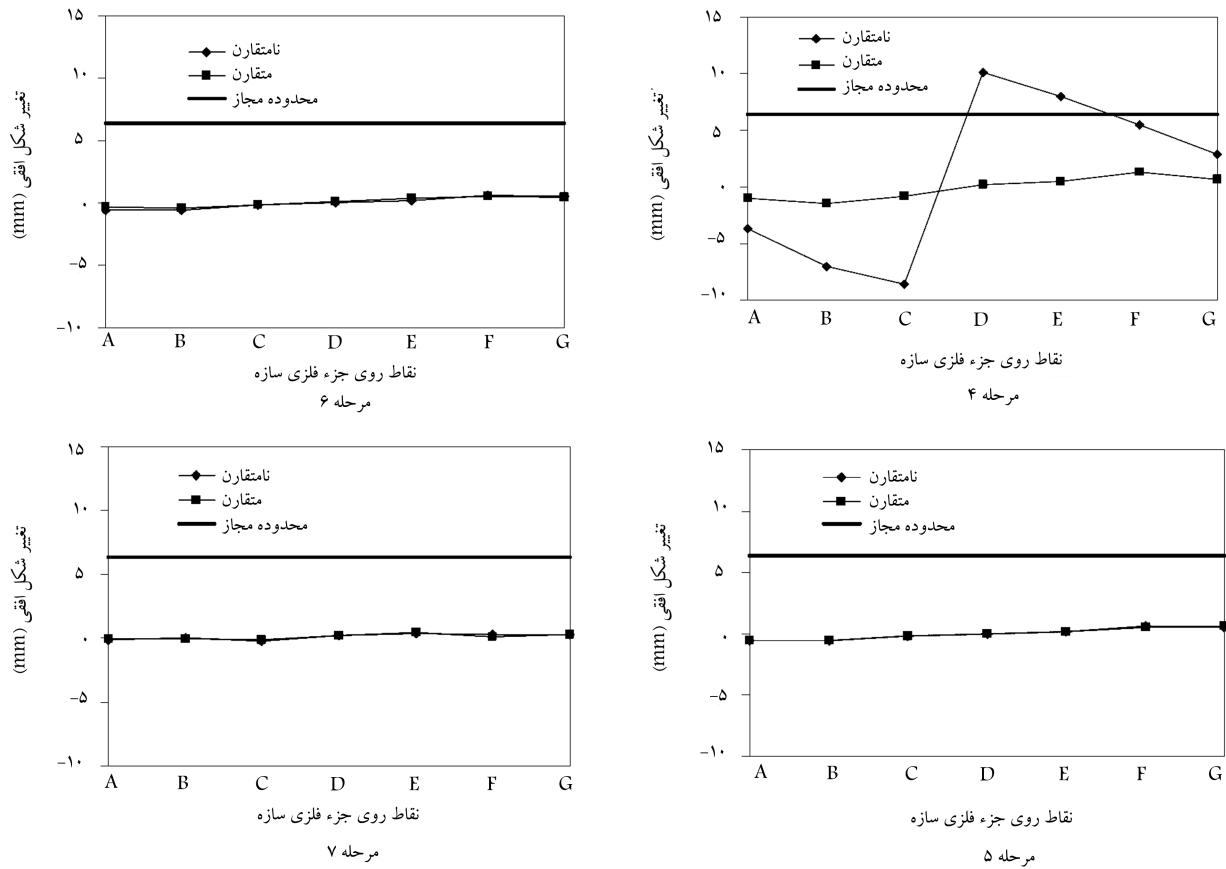
۷. نتایج حاصل از تحلیل

جهت بررسی رفتار جزء فلزی سازه، نیاز به محاسبه و کنترل پارامترهای زیر است. البته با توجه به مقادیر مجاز آین نامه‌ی، لازم است مقایسه بین پارامترهای تغییرشکل و تنش و مقادیر مجاز صورت گیرد.

این پارامترها عبارت‌اند از: ۱. تغییرشکل افقی سازه که مقدار مجاز آن $35/6$ میلی‌متر است،^[۲] ۲. تغییرشکل قائم که نباید از 2% ارتفاع سازه یعنی $mm 121/20$ تجاوز کند،^[۳] ۳. نیروی محوری،^[۴] ۴. نیروی برنشی،^[۵] ۵. لنگر خمیشی،^[۶] ۶. تنش فشاری



شکل ۵. اثر اختلاف خاکریزی در تغییرشکل افقی و قائم سازه.

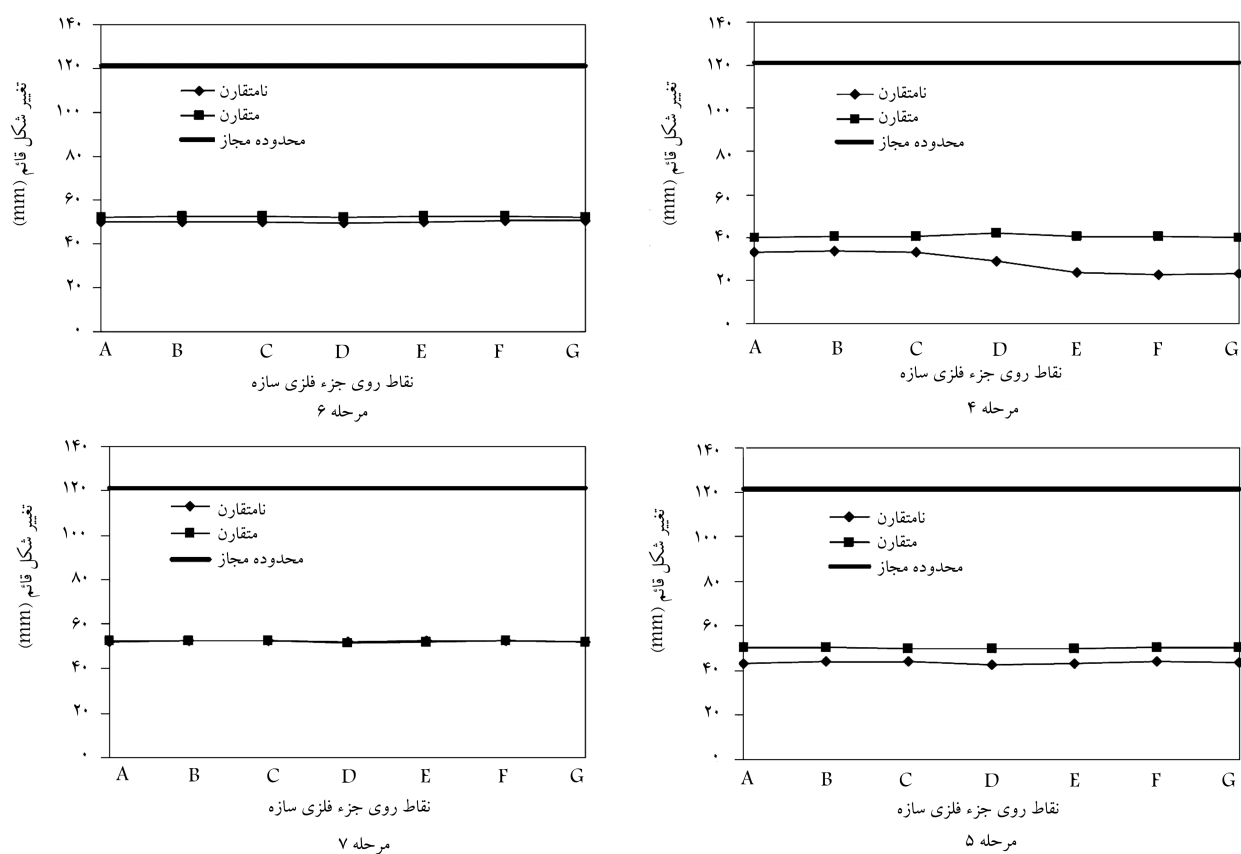


شکل ۶. اثر بارگذاری نامتقارن در تغییرشکل افقی سازه.

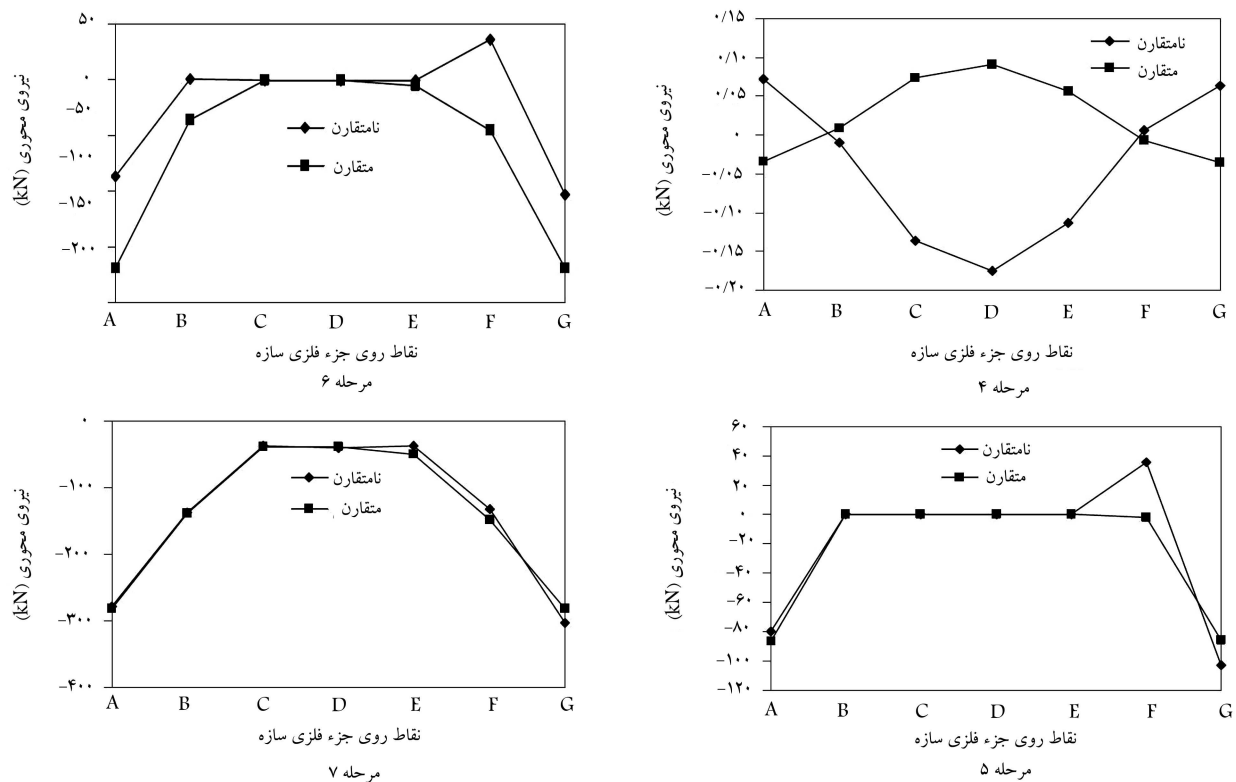
سازه تحت بارگذاری نامتقارن در مرحله‌ای اول غیرمجاز است. بنابراین در مراحل اولیه خاکریزی باید از بارگذاری نامتقارن پرهیز کرد. اگر بهدلیل مسائل اجرایی امکان بارگذاری متقارن وجود نداشته باشد، باید در سمت مقابل از داربست استفاده کرد و یا با خاکریزی بیشتر، انحراف سازه از شکل اولیه اصلاح شود. این تذکر لازم است که هیچ‌گاه تغییرشکل دائمی در صفحات شود. امر منجر به ایجاد تغییرشکل دائمی مقایسه‌ی نمودارهای شکل ۶ اثر بار نامتقارن را در مراحل مختلف اجرا نشان می‌دهد. با

دیگر، در هر مرحله فقط یک طرف سازه تحت اثر بار زنده کامیون واقع می‌شود. اثر بارگذاری نامتقارن در شکل‌های ۶ تا ۱۱ نشان داده شده است.

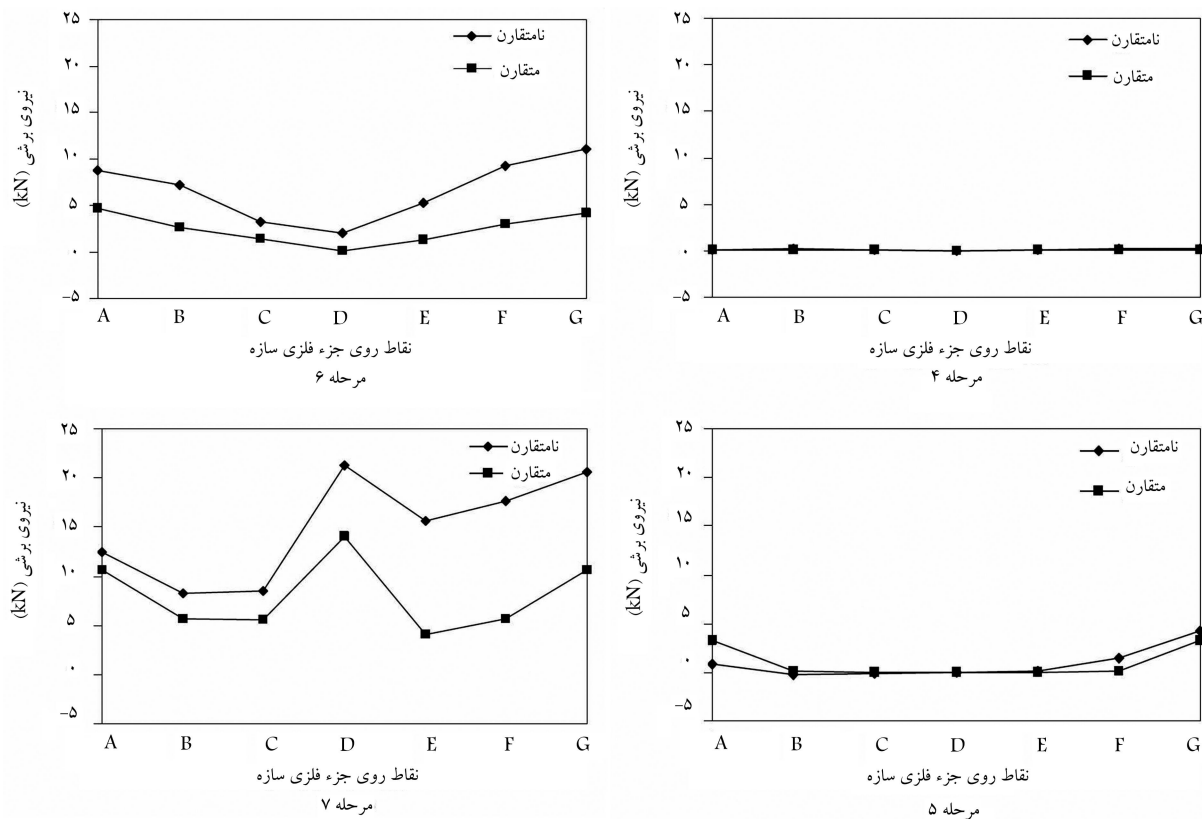
۱.۴.۷. اثر عدم تقارن بار بر تغییرشکل افقی سازه مقایسه‌ی نمودارها می‌توان تیجه گرفت که سازه در مرحله‌ای اول خاکریزی روی پی‌ها (مرحله‌ای ۴) نسبت به بار نامتقارن بسیار حساس بوده و ۱۰ برابر بیش از تغییرشکل افقی بارگذاری متقارن است. اما در مراحل بعدی خاکریزی، نمودار تغییرشکل افقی بارگذاری نامتقارن تقریباً بر نمودار بارگذاری متقارن منطبق است. تغییرشکل افقی



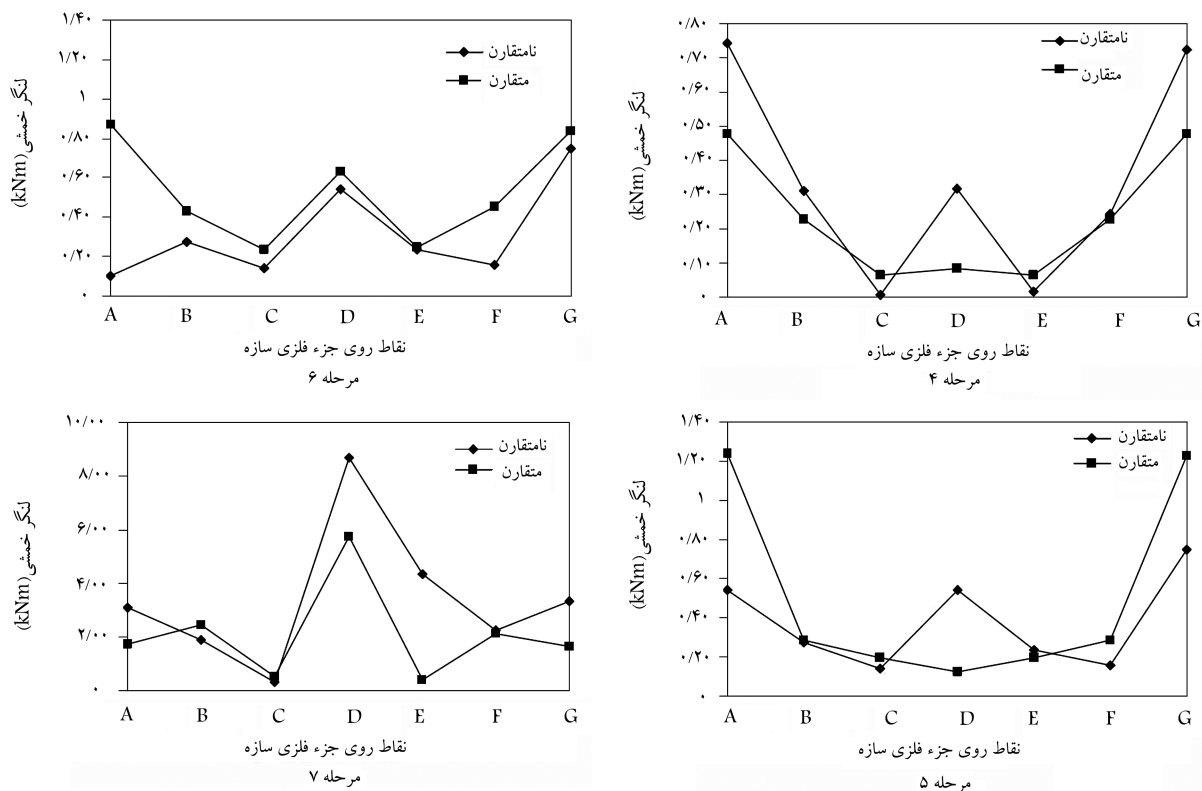
شکل ۷. اثر بارگذاری نامتقارن در تغییرشکل قائم سازه.



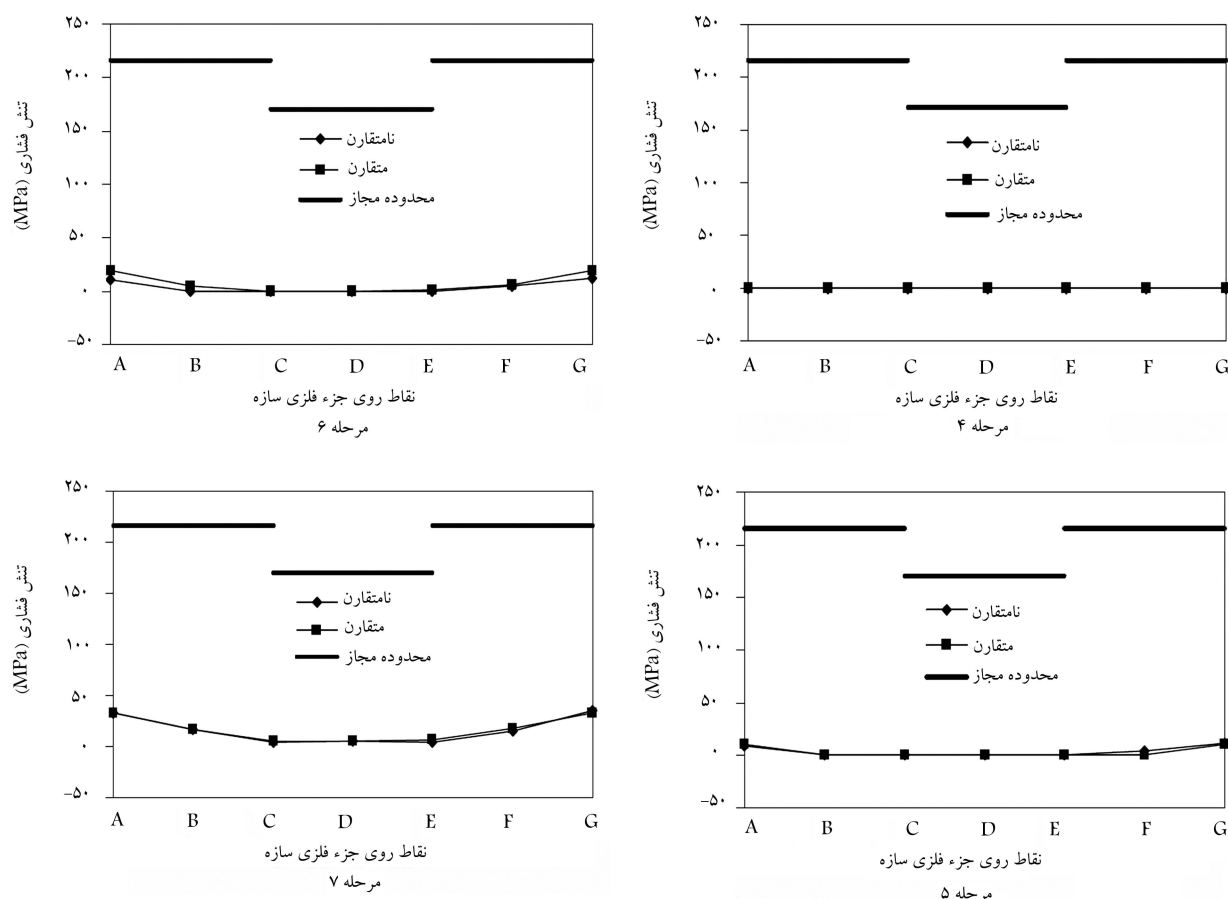
شکل ۸. اثر بارگذاری نامتقارن بر نیروی محوری.



شکل ۹. اثر بارگذاری نامتقارن بر نیروی برشی.



شکل ۱۰. اثر بارگذاری نامتقارن بر لنجگر خمشی.



شکل ۱۱. مقایسه‌ی نتش فشاری سازه تحت بار متقارن و نامتقارن.

۴.۴.۷. اثر عدم تقارن بار بر نیروی برشی

مقایسه‌ی نمودارهای شکل ۹ نشان می‌دهد که با پیشرفت خاکریزی، نیروی برشی در سازه افزایش می‌یابد. نیروی برشی در نقاط تکیه‌گاهی A و G بیش از سایر نقاط است. نیروی برشی نقطه D (مرکز دهانه) تا زمانی که پوشش خاکی به صفحات تاج نرسیده، برابر صفر است؛ اما هنگامی که خاکریزی کنار صفحات تاج انجام می‌شود (مرحله‌ی ۷)، نیروی برشی در نقطه D به ۱۳,۹۸ کیلونیون می‌رسد. مقایسه‌ی نیروی برشی خاکریزی روی پی‌ها (مرحله‌ی ۴) در حالت بارگذاری متقارن و نامتقارن نشان می‌دهد که قدرمطلق نیروی برشی نقاط تکیه‌گاهی A و G در بارگذاری نامتقارن تقریباً دو برابر حالت متقارن است.

۴.۵.۷. اثر عدم تقارن بار بر لنگر خمشی

مقایسه‌ی نمودارهای شکل ۱۰ نشان می‌دهد که با پیشرفت مراحل خاکریزی، لنگر خمشی افزایش می‌یابد. خاکریزی کنار صفحات تاج باعث ۹ برابر شدن لنگر خمشی تاج، ۸ برابر شدن لنگر خمشی نقاط تکیه‌گاهی و ۶ برابر شدن لنگر خمشی نقاط پیشینه‌ی دهانه نسبت به مرحله‌ی قبل می‌شود. عدم تقارن بار باعث ۴ برابر شدن لنگر خمشی در مرحله‌ی خاکریزی کنار صفحات تاج می‌شود.

۴.۶.۷. اثر عدم تقارن بار بر نتش فشاری سازه

نتش فشاری مجاز سازه با استفاده از روابط آین نامه‌ی برای دیواره‌ها و تاج جداگانه محاسبه می‌شود. نتش فشاری مجاز تاج (نقاط C, D و E) دارای محدودیت بیشتری است. همان‌طور که در شکل ۱۱ مشاهده می‌شود، نتش فشاری دیواره‌ها و تاج در

تغییرشکل افقی سازه کاهش می‌یابد و منحنی تغییرشکل افقی هموارتر می‌شود. منحنی‌ها نشان می‌دهند که در حالت بارگذاری متقارن برای تمامی مراحل و در حالت بارگذاری نامتقارن به استثنای مرحله‌ی اول خاکریزی (مرحله‌ی ۴) نقاط F (محل بیشینه‌ی دهانه)، تغییرشکل افقی بیشینه است. بنابراین در مرحله‌ی خاکریزی دیواره‌های سازه، کنترل این دو نقطه بیش از سایر نقاط ضروری است.

۴.۷. اثر عدم تقارن بار بر تغییرشکل قائم سازه
با توجه به شکل ۷ می‌توان نتیجه گرفت که اثر بارگذاری نامتقارن بر تغییرشکل قائم سازه کمتر از تغییرشکل افقی است و مقادیر تغییرشکل در حد مجاز باقی می‌مانند. تغییرشکل قائم ناشی از بارگذاری نامتقارن کمتر از بارگذاری متقارن است و با پیشرفت خاکریزی، اختلاف منحنی تغییرشکل قائم در حالت بارگذاری متقارن و نامتقارن کاهش می‌یابد. همچنین مقایسه‌ی منحنی‌ها یانگر آن است که تغییرشکل قائم در تمام نقاط سازه، در هر مرحله با هم برابرند.

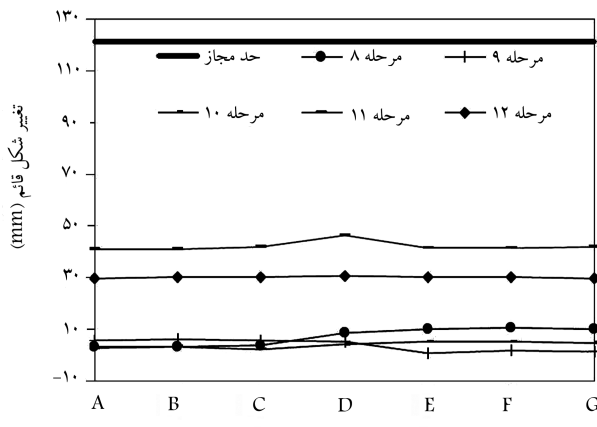
۴.۸. اثر عدم تقارن بار بر نیروی محوری
مقایسه‌ی نمودارهای شکل ۸ نشان می‌دهد که با پیشرفت خاکریزی، نیروی محوری در سازه افزایش می‌یابد. نیروی محوری در همه‌ی مراحل به استثنای مرحله‌ی ۴، برای نقاط A و G (نقاط اتصال صفحات به پی) بیش از سایر نقاط است. در مرحله‌ی اول خاکریزی (مرحله‌ی ۴) قدرمطلق نیروی محوری ناشی از بار نامتقارن دو برابر بارگذاری متقارن است، اما با پیشرفت خاکریزی این اختلاف کاهش می‌یابد و در مرحله‌ی آخر خاکریزی پشت دیواره‌ها (مرحله‌ی ۷) این اختلاف حدوداً به صفر می‌رسد.

مرحله‌ی ۹ کمتر از ۱۰٪ تغییرشکل قائم مرحله‌ی ۸ و مرحله‌ی ۱۰ است. اثر اجرای پوشش خاکی نهایی سازه بر تغییرشکل قائم سازه: تغییرشکل بیشینه‌ی قائم سازه تحت اثر اجرای پوشش خاکی نهایی در نقاط E و F، برابر با ۴۸,۶۱ میلی‌متر است که با توجه به تغییرشکل مجاز قائم سازه برابر ۱۲۱,۲۰ mm در کلیه‌ی مراحل فوق در حد مجاز قرار دارد (شکل ۱۳).

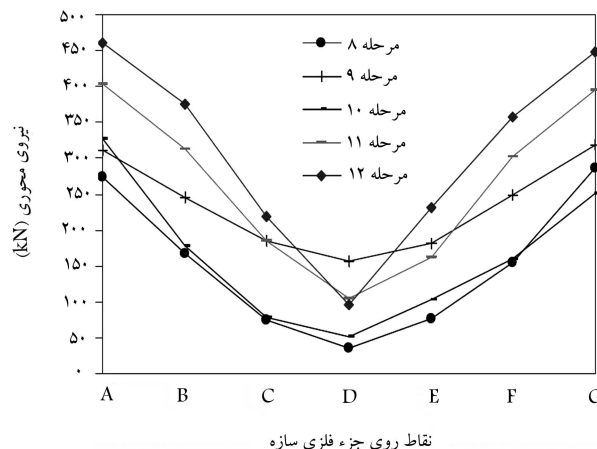
۳.۵.۷ اثر اجرای پوشش خاکی تاج بر نیروی محوری
نیروی محوری سازه تحت اثر اجرای پوشش خاکی ۴۰ سانتی‌متر نیروی محوری در مراحل ۸ و ۱۰ به یکدیگر نزدیک‌اند و فقط ۱۶ کیلونیوتون تفاوت دارند. نیروی محوری در نقاط تکیه‌گاهی بیش از سایر نقاط سازه و برابر ۲۲۷ کیلونیوتون است. نیروی محوری مرحله‌ی ۹ در تاج سازه ۱/۵ برابر مرحله‌ی ۸ و مرحله‌ی ۱۰ در نقاط تکیه‌گاهی با مراحل ماقبل و بعد برابر است.

اثر اجرای پوشش خاکی نهایی سازه بر نیروی محوری سازه: نیروی محوری این مرحله در مرکز تاج ۳۳٪ کمتر از مرحله‌ی ۹ و در تکیه‌گاهها ۲۴٪ بیشتر است (شکل ۱۴).

۴.۵.۷ اثر اجرای پوشش خاکی تاج و احداث خط آهن بر نیروی برشی
نیروی برشی سازه تحت اثر اجرای پوشش خاکی ۴۰ سانتی‌متر نیروی برشی مراحل ۸ تا ۱۰ در تکیه‌گاه‌ها بین ۲۳ کیلونیوتون تغییر می‌کند. بیشینه‌ی نیروی برشی ناشی از اجرای پوشش خاکی ۴۰ سانتی‌متری برابر ۱۱۷,۵۱ کیلونیوتون است و



شکل ۱۳. اثر اجرای پوشش خاکی تاج در تغییرشکل قائم.



شکل ۱۴. اثر اجرای پوشش خاکی تاج بر نیروی محوری.

تمامی مراحل خاکریزی در حد مجاز است. با پیشرفت خاکریزی، تنش فشاری در کلیه‌ی نقاط افزایش می‌یابد. این اثر در نقاط تکیه‌گاهی بیشتر است. تنش فشاری در حالت بارگذاری متقارن و نامتقارن تقریباً بر یکدیگر منطبق هستند.

۵.۷ اثر اجرای پوشش خاکی تاج

منظور از اجرای پوشش خاکی تاج، اجرای کمینه‌ی پوشش خاکی لازم جهت عبور و مرور ماشین آلات اجرایی از روی تاج سازه است، که با توجه به توصیه‌های آینین‌نامه‌ی CHBDC برابر ۴۰ سانتی‌متر به دست آمده است. جهت تحلیل استاتیکی سازه تحت اثر حرکت ماشین آلات اجرایی، کامیون ۴۰ تنی ایران در سه نقطه‌ی مختلف حرکت داده شده است (مراحل ۸ تا ۱۰). مراحل بعدی شامل هم‌سطح کردن پوشش خاکی سازه تا بستر راه یا راه‌آهن است.

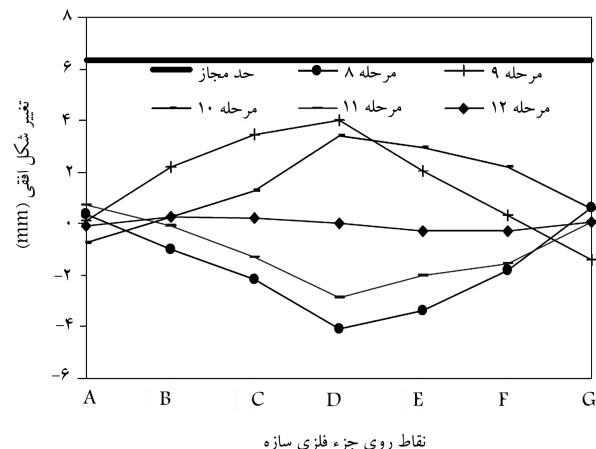
۱.۵.۷ اثر اجرای پوشش خاکی تاج بر تغییرشکل افقی سازه

تغییرشکل افقی سازه تحت اثر اجرای پوشش خاکی ۴۰ سانتی‌متر: منحنی‌های مراحل ۸ تا ۱۰ در شکل ۱۲، حرکت کامیون ۴۰ تنی را بر روی سازه نشان می‌دهند. در مرحله‌ی ۸، محور عقب کامیون ۴۰ تنی در سمت چپ سازه و در محل فصل مشترک دیواره‌ی ترانشه و پوشش خاکی تقریباً برابر است. در این حالت تغییرشکل افقی مرکز سازه بیش از سایر نقاط است. همچنین تغییرشکل افقی سمت چپ سازه شامل نقاط E، F و G نسبت به طرف راست سازه حدود ۸۰٪ بیشتر است. در مرحله‌ی ۹، برابر با مرکز دهانه ۴۰٪ نسبت به مرکز دهانه ۱۰ واقع است. لذا مرکز دهانه بیشترین تغییرشکل افقی را داراست. در مرحله‌ی ۱۰ محور جلوی کامیون در فصل مشترک دیواره‌ی راست ترانشه و پوشش خاکی واقع است. به طورکلی مقایسه‌ی منحنی‌های مراحل ۸ تا ۱۰ نشان می‌دهد که قدرمطلق تغییرشکل افقی این سه مرحله نسبت به حرکت کامیون حساس نیست.

اثر اجرای پوشش خاکی نهایی سازه بر تغییرشکل افقی سازه: منظور از پوشش خاکی نهایی، اجرای خاکریزی جهت تأمین کمینه‌ی ارتفاع پوشش خاکی موردنیاز جهت عبور قطار است (مراحله ۱۱). تکمیل پوشش خاکی باعث کاهش ۳۰ درصدی تغییرشکل افقی سازه می‌شود.

۲.۵.۷ اثر اجرای پوشش خاکی تاج بر تغییرشکل قائم سازه

تغییرشکل قائم سازه تحت اثر اجرای پوشش خاکی ۴۰ سانتی‌متر: قدرمطلق تغییرشکل قائم مرحله‌ی ۸ و مرحله‌ی ۱۰ با یکدیگر برابرند. تغییرشکل قائم سازه در



شکل ۱۵. اثر اجرای پوشش خاکی تاج در تغییرشکل افقی.

خاکی مرحله‌ی ۹ کمتر از پوشش خاکی مرحله‌های ۱۱ و ۱۲ است، و در عین حال کامیون ۴۰ تنی در مرکز دهانه واقع است، لنگر خشمی آن بیش از حالتی است که پوشش خاکی تکمیل و خط راه آهن اجرا شده باشد. بنابراین پوشش خاکی سهم عمده‌ی در کاهش لنگر خشمی سازه: تکمیل پوشش خاکی اثر اجرای پوشش خاکی نهایی سازه بر لنگر خشمی سازه: تکمیل پوشش خاکی باعث کاهش ۶۶ درصدی لنگر خشمی تاج سازه می‌شود (شکل ۱۶).

۶.۵.۷. اثر اجرای پوشش خاکی تاج بر تنش فشاری

تنش فشاری سازه تحت اثر اجرای پوشش خاکی ۴۰ سانتی‌متر: متحمنی تنش فشاری سازه در حالتی که کامیون ۴۰ تنی روی پوشش خاکی واقع است (مرحله‌های ۸ و ۱۰) تقریباً بهم منطبق هستند. هنگامی که کامیون در مرکز دهانه واقع است، تنش فشاری در نقاط تکیه‌گاهی ۲۴٪ افزایش دارد و در مرکز دهانه ۳ برابر می‌شود. اثر اجرای پوشش خاکی نهایی سازه بر تنش فشاری سازه: تکمیل پوشش خاکی باعث افزایش ۲۴ درصدی تنش در کلیه نقاط سازه می‌شود. تنش فشاری در هیچ‌یک از مراحل فوق از تنش فشاری مجاز تجاوز نمی‌کند. تنش فشاری مجاز سازه با استفاده از روابط آین نامه‌ی برای دیواره‌ها و تاج جداگانه محاسبه می‌شود، لذا به شکل نمودار پله‌یی است (شکل ۱۷).

۸. نتیجه‌گیری

هدف از این اثرباره‌ی این نوشتار، تشریح نحوه تحلیل استاتیکی سازه‌های خاکی فولادی تحت اثر بارهای اجرایی بوده است. در این نوشتار رفتار یک نمونه‌ی سازه‌ی خاکی فولادی که براساس استاندارد کانادا CHBDC طراحی شده است، تحت اثر بارهای اجرایی کامیون ۴۰ تنی بررسی شده است. نتایج حاصل از تحلیل نشان می‌دهد که ضوابط طراحی استاندارد CHBDC برای بارکامیون ۴۰ تنی به منزله‌ی سنگین‌ترین بار اجرایی پاسخگو است و تغییرشکل افقی، تغییرشکل قائم، و تنش فشاری در حدود مجاز قرار دارد. به طورکلی از مقایسه نمودارها می‌توان این نتایج را استنباط کرد:

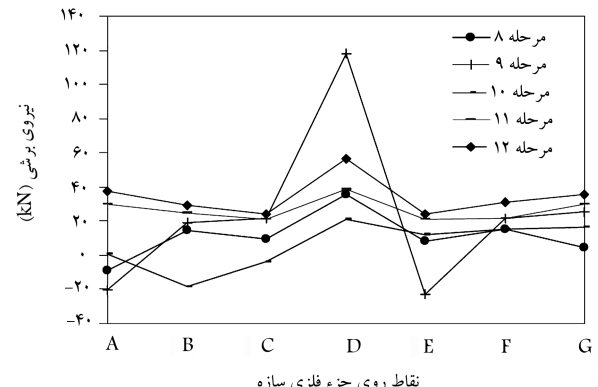
- پس از بررسی اثر درنظرگیری لغزش بین صفحات فولادی مجذار و خاک، نتایج نشان دادند که در حوزه موردمطالعه درنظرگرفتن لغزش در محل تماش صفحات و خاک تأثیر قابل توجهی بر نتایج ندازند و در تحلیل‌های بعدی می‌توان از این ساده‌سازی استفاده کرد.

-- بررسی اثر اختلاف خاکریز در دو طرف سازه نشان داد، در صورتی که اختلاف ارتفاع از ۴۰ سانتی‌متر تجاوز نکند، تغییرشکل‌ها در حد مجاز آین نامه‌ی باقی می‌مانند.

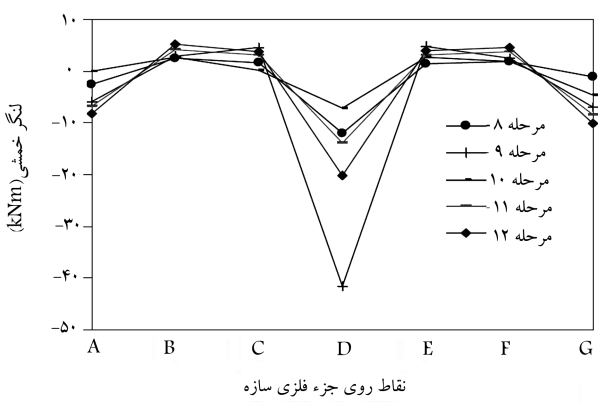
-- بررسی اثر عدم تقارن بار اجرایی بر روی سازه نشان داد که تغییرشکل افقی، نیروی محوری، و نیروی برشی به ویژه در مراحل اولیه خاکریزی به عضًا به دو برابر افزایش می‌یابند و باید از اجرای نامتقارن سازه اجتناب کرد.

-- بررسی اثر اجرای پوشش خاکی نشان داد که با تکمیل مراحل خاکریزی، تغییرشکل‌های افقی و قائم سازه کاهش می‌یابند.

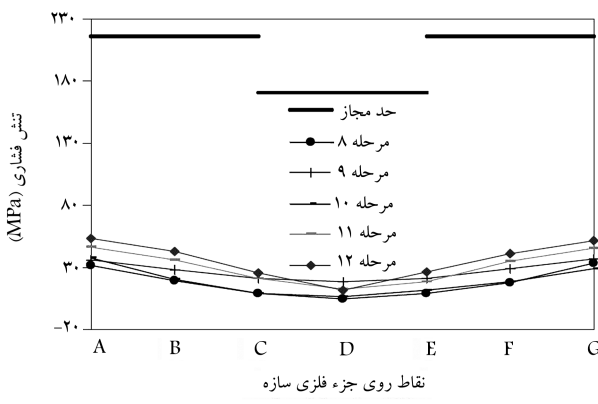
-- مقایسه‌ی تنش فشاری با مقادیر مجاز آین نامه‌ی بی نشان می‌دهد که مقادیر تنش مجاز حدود ۵ برابر تنش فشاری حاصل از تحلیل است و به جای پروفیل باضخامت ۷/۱۱ mm می‌توان از پروفیل ۶/۳۲ mm استفاده کرد. به عبارت دیگر، با تحلیل گام به گام و استفاده از مدل‌های رفتاری غیرخطی می‌توان پروفیل اقتصادی تری را در مقایسه با آین نامه‌های طراحی مبتنی بر روش‌های کشسان انتخاب کرد.



شکل ۱۵. اثر اجرای پوشش خاکی تاج بر نیروی برشی.



شکل ۱۶. اثر اجرای پوشش خاکی تاج بر لنگر خشمی.



شکل ۱۷. اثر اجرای پوشش خاکی تاج بر تنش فشاری.

هنگامی روی می‌دهد که کامیون ۴۰ تنی در جهت عمود بر محور سازه و برابرین بار کامیون به فاصله‌ی ۳/۳۲ m از محور پل قرار دارد (مرحله‌ی ۹). نیروی برشی تاج سازه در این مرحله بیش از ۳ برابر نیروی برشی نسبت به حالتی است که کامیون بر روی خاکریز واقع است (مرحله‌های ۸ و ۱۰ در شکل ۱۵).

اثر اجرای پوشش خاکی نهایی سازه بر نیروی برشی سازه: نیروی برشی در این مرحله در تاج سازه بیشینه و برابر با ۴۰ کیلونیون است. نیروی برشی در تکیه‌گاهها با تکمیل پوشش خاکی ۷ برابر افزایش می‌یابد.

۶.۵.۷. اثر اجرای پوشش خاکی تاج و احداث خط آهن بر لنگر خشمی لنگر خشمی سازه تحت اثر اجرای پوشش خاکی ۴۰ سانتی‌متر به دلیل آنکه پوشش

منابع (References)

1. Abdel-Sayed, G. and Bakht, B., *Soil-Steel Bridges, Design and Construction*, Chapter 4, McGraw-Hill Pub. Co., New York (1993).
2. *Handbook of Steel Drainage & Highway Construction Products*, 2nd Ed., Corrugated steel Pipe Institute & American Iron and Steel Institute (2002).
3. *AASHTO Highway Bridges*, 2nd Ed., American Association of states Highway and Transportation Officials (2000).
4. *Commentary on CAN/CSA-S6-00*, Canadian Highway Bridge Design Code, S6.1-00, Canadian Standards Association, Ontario, Canada (2001).
5. *Canadian Highway Bridge Design Code*, CAN/CSA-S6-00, National Standard of Canada, CSA International (2001).
6. Abdulrazagh, P.H. "Static analysis of soil-steel structures under train displacement", Research project, Iran University of Science and Technology, Tehran (2007).
7. *Bridge loading Standard*, Code 139, Planning and Budget Organization, Tehran, Iran (1995).
8. Lee, J. "The performance of soil-steel bridges with shallow soil cover under vehicle load", Proc., 3rd Int. Conf of Bridges, Seoul, Korea (2006).
9. Brinkgreve, R.B.J., *PLAXIS 2D Manual*, Version8, A.A. Balkema Publishers, Delft University of Technology & PLAXIS b.v., Netherlands (2002).

STATIC ANALYSIS OF SOIL-STEEL BRIDGES UNDER CONSTRUCTION LOADS

M. Esmaeili(corresponding author)

m_esmaeili@iust.ac.ir

J.A. Zakeri

zakeri@iust.ac.ir

School of Railway Engineering

Iran University of Science and Technology

P. Haji Abdulrazagh

p.abdulrazagh@ut

School of Civil Engineering

University of Tehran

Sharif Civil Engineering Journal

Volume 29, Issue 2, Page 117-126, Original Article

© Sharif University of Technology

- Received 19 April 2011; received in revised form 16 November 2011; accepted 17 December 2011.

Abstract

Soil-steel structures are composite structures made by steel rings and a soil envelope, which are constructed in spans of, maximum, thirty meters. Soil-steel interaction causes flexible steel plates to interact with the surrounding backfill for suitable distribution of external loads in a radial direction. Internal forces and deflections are of the most concern in analytical study of soil-steel structures. But, only precise modeling makes results reliable. The current methods of analyzing these types of structures are principally based on the elasticity theory, in which nonlinear interaction of soil-structure and stage construction of local effects are not taken into account. These are the main concerns of the present research. In this paper, introducing soil-steel structures for bridge construction, the behavior of such structures is investigated under stage construction loads. As a case study, a single span soil-steel bridge has been analyzed and designed, based on the Canadian highway bridge design code (CHBDC) and results are compared with the PLAXIS finite element code. Stage construction consists of 1) the initial phase where a natural trench has been idealized; 2) filling and compaction of soil under foundations; 3) construction of foundation and installation of plates; 4) backfilling and compaction of both sides of the steel structure up to crown level; 5) backfilling the soil cover up to a minimum height of cover for construction loads; 6) backfilling and compaction of soil cover up to the final level for performance loads. In addition

to investigate the deformations, axial and shear forces, bending moments and stresses in each of the above construction stages, the stability of the natural trench before construction, the interface between corrugated steel plates and the soil, the assumption of the elastic behavior of backfilling, the effect of unbalanced backfilling, and the effect of the asymmetry of construction loads, have also been studied. The comparison indicates that horizontal and vertical displacements and the compressive stresses obtained from FE stage construction are 64, 43 and 56 percent, respectively, greater under standard limitations. Therefore, a more optimum and economic design, in comparison to elasticity based analysis methods, can be achieved by accounting for stage construction and the nonlinear behavior of soil-steel bridges.

Key Words: Soil-steel bridges, static analysis, Finite Element method, truck load.